

## 論 文

# 레일리 페이딩 채널에서의 Viterbi 복호를 위한 인터리빙

正會員 李 相 坤\*, 正會員 錢 重 有\*\*, 正會員 文 相 在\*

## Interleaving for Viterbi Decoding in the Rayleigh Fading Channel

Sang Gon LEE\*, Jung In JEON\*\*, Sang Jae MOON\* *Regular Members*

**要 約** 레일리 페이딩 채널에서의 임집오류는 대시달 이동무선통신의 성능 저하를 예방하기 위하여 블록 인터리버와 함께 깔瘫부호를 적용할 수 있다. 본 논문에서는 블록 인터리버에 의하여 산발화된 오류들의 산발성에 관하여 연구하였으며, 깔瘫부호의 Viterbi 복호기에 인터리빙을 적용하고, 이에 적합한 인터리버의 구조에 대하여 논하였다. 부호율  $3/4$ , 구조상 7 깔瘫부호를 위한 우수한 인터리버를 컴퓨터 시뮬레이션을 통하여 발굴하였다.

**ABSTRACT** Burst errors is a major cause of the performance degradation of digital mobile radio communication over the Rayleigh fading channel. Convolutional codes with block interleaving can be employed to reduce the degradation. This paper has studied the randomness of errors and applied the interleaving to the Viterbi decoders of convolutional codes. Good interleavers for the  $r=3/4$ ,  $L=7$  convolutional code has been searched through computer simulation.

### I. 서 론

이동무선통신 채널은 다중반사와 다중전파경로가 형성된다. 각 경로마다 전송지연시간과 감쇄 정도가 달라서 강한 페이딩현상이 나타나고,

주신기의 이동속도에 따라서 도플러(Doppler) 주파수편이(deviation) 현상이 생기므로, 주신된 신호의 폭락선은 레일리 화률분포를 갖는다. 위와 같은 독특한 통신환경을 지니는 이동무선통신 채널을 레일리 페이딩(Rayleigh fading) 채널이라 한다.<sup>[1]</sup>

이러한 채널에서는 가산성 백색 가우시안 잡음(AWGN)에 의한 산발오류(random error)뿐 아니라

\*慶北大學校 電子工程科

Dept. of Electronics, Kyungpook Nat'l Univ.

\*\*韓國大亞太通信(株)

論文番號 : 90-97 (接受1990. 8. 29)

아니라 페이딩에 의한 연접오류(burst error)도 발생한다.<sup>2)</sup> 그리고 이러한 채널에서 나온은 면밀조 방식에 의해 시민 데이터를 전송할 때 페이딩 현상으로 인해서 비트오율을  $10^{-5}$  이하로 낮추기가 실제로 어렵다.<sup>3), 4)</sup> 유선통신에서 적어도 요구되는  $10^{-3}$ 의 비트오율을 원기에도  $30\text{dB}$  보다 큰 SNR가 필요하므로 소형정박이 요구되는 경우의 이동무선통신 시스템에서는 이러한 전전리소모가 바람직하지 않다.

이러한 문제점을 해결하기 위한 한 방법으로 Viterbi 복호법을 사용한 간접복호를 이용하여 오류를 제거하고자 한다. 그러나 간접복호는 산발오류에 대하여 오류제거능력이 강하므로 레일리 페이딩 채널에서 발생하는 연접오류를 산발오류화하는 방법이 필요하다. 인터리밍(interleaving)은 이러한 목적으로 사용된다. 인터리밍은 채널 부호기에에서 나오는 비트수의 순서를 재 배열하여 전송하고, 디인터리버(deinterleaver)는 수신측에서 비트수의 순서를 원래대로 복구하여 부호기에 입력시킴으로써 연접오류를 산발화시킨다.<sup>5)</sup>

인터리밍은 주기(periodic)인터리밍과 의사랜덤(pseudorandom)인터리밍으로 분류할 수 있는데 주기인터리밍은 의사랜덤인터리밍보다 신뢰도에서는 뛰어지지만 단점은 있다. 그리고 주기인터리비중N행과 1열의 행으로 구성된 (I,N) 를 대입 터리미는 데이터 트레일의 놓기는 맞추기가 용이하다.

본 논문에서는 디인터리버된 데이터 일에 신호의 산발성 추정방법을 제시한다. 그리고 이 방법을 이용하여 레일리 페이딩 채널에서 (I,N) 를 대입 터리미의 구조, 즉 행의 크기 N과 열의 크기 1에 따른 인터리미의 특성을 조사한다. 대역제한 채널에서 신호식으로 사용될 수 있는 부호율  $3/4$ , 주파수 7MHz 간접부호기에 인터리미를 적용시키고 세안된 산발성 추정법이 잘 일치하는지의 여부도 검토한다. 그리고 인터리밍할 때 무작위으로 발생하는 미의학습의 시연시간과 비트오율을 고려해서 레일리 페이딩 채널에서 간접부호에 적합한 인터리미를 발달한

다.

## II. 레일리 페이딩 채널의 특성

이동 무선통신 채널은 다중반사와 다중수신경로가 형성된다. 각 경로마다 전송지인식시간과 잡음 정도가 따라서 강한 페이딩 현상이 나타나고 수신기의 속도 때문에 도플러 주파수 전이가 생긴다. 전파 경로의 수가 무수히 많다고 하면, 이동 무선통신 채널을 통하여 수신된 신호는 the central limit theorem을 적용하여 평균이 0인 폭넓은 가우시안 랜덤과정(complex valued Gaussian random process)으로 볼 수 있다. 따라서 수신신호의 평균값은 레일리 분포를 가지고, 일정은  $[0, 2\pi]$ 에서 균등적으로 동일하다. 이러한 채널을 레일리 페이딩 채널(Rayleigh fading channel)이라 한다.<sup>6)</sup>

주파수 선택성(frequency selectivity)과 페이딩률(fading rate)은 이동무선통신 채널의 특성을 나타내는 주요 요소이다. 전파의 주파수 시간으로 인한 채널의 깊은 모하이린트(coherent) 대역폭이 정보 데이터의 점유 대역폭보다 크면, 정보데이터의 주파수 성분들은 통일된 영역에 위치하게 되어 수신신호에 영향을 주지 않으므로 이 경우는 주파수 미선택적 채널이라 하고, 작으면 주파수 선택적 채널이라 한다. 본 연구의 대상은 25kHz 정도의 대역폭을 점유하는 데이터 통신이고, VHF-UHF대 이동무선통신 채널의 모하이린트 대역폭은 대략 1~2 kHz이므로<sup>7)</sup>, 주파수 미선택적 채널로 볼 수 있다.

페이딩율은 엔트로피  $R$ 가 어떤 레벨  $R_0$ 값을 넘지 않을 때로 표시할 수 있으며

$$N_{R_0} = \sqrt{2\pi} f_D \rho e^{-\rho} \quad (1)$$

$\rho$ 은 주어진다.<sup>8)</sup> 여기서  $\rho = R_0 / R_{\text{rms}}$ 이다. 그리고  $R$  시간에 따른 수신신호  $r(t)$ 의 진폭은 레일리 확률분포를 차지하고, 수신기의 속도로 인하여 페이딩이 발생하여 이러한 레일리 페이딩의 시간

에 대한 변화하는 정도를 페이딩율로 나타낸다. 즉, 채널에서 페이딩율이 빠르면 고속 레일리 페이딩 채널이라 하고 정보비트의 전송율이 페이딩율보다 상대적으로 높다면 저속 레일리 페이딩 채널이라 한다. 이 율은 수신기의 이동속도에 의한 도플러 주파수 변이의 최대값  $f_D$ 에 비례한다. 데이터 전송율이 16kbps인 경우에는 페이딩율은 완동(slow)으로 간주 할 수 있다.<sup>(8)</sup> 완동 레일리 페이딩인 경우 적어도 한 심볼구간 동안 감쇄와 위상편이 있는 일정하다.

레일리 페이딩 채널의 시뮬레이션을 위한 채널 모델링 방식으로는 위상변조신호의 주파수 합성 방식과 잡음원 스펙트럼 형상방식 등이 많이 이용되고 있다.<sup>(8), (9)</sup> 본 논문에서는 위상변조신호의 주파수 합성방식에 의거한 소프트웨어 시뮬레이터를<sup>(9)</sup> 사용하여 레일리 페이딩신호를 발생시켰다.

레일리 페이딩 채널에서 변, 복조방식으로 DQPSK를 사용했을 때 비트오류 확률  $\epsilon$ 는 식 (11)과 같다.<sup>(4)</sup>

$$\epsilon = \frac{1}{2} (1 - J_0(2\pi f_D T_s)) + \frac{2}{\Gamma_Q} + \frac{1}{\Lambda} \quad (2)$$

여기서  $J_0$ 는 제 1류 영(zero) 차 Bessel 함수이며,  $\Gamma_Q$ 는 신호대 쌍음의 전력비이고  $\Lambda$ 는 신호대 인접채널혼신의 전력비이다.

### III. 인터리버

#### III.1. 블럭(block) 인터리버

일반적으로 채널오류제어 시스템은 산발오류(random error) 형태에 그 성능이 우수하다. 전술된 바와 같이 이동무선통신 채널은 연접오류(burst error) 형태를 지닌다. 즉, 한 비트에 오류가 발생하면 그 이후 연접해서 오류가 생길 확률이 커진다. 인터리버는 이러한 연접오류를 산발화 시키는 역할을 한다.

인터리버는 미리 정해진 방법으로 비트 시퀀스의 순서를 재 배열하여 전송하는 것이며 디인터리버는 수신측에서 복호화 되기 전에 원래의 순으로 비트 시퀀스를 되찾기 위한 인터리버의 역과 정을 수행한다. 결과적으로 인터리버와 디인터리버를 사용함으로써 기억(memory)을 가지는 채널을 단지 버퍼의 저장과 처리시간의 대가로 무기억(memoryless) 채널로 변형 시킬 수 있다는 것이다. 인터리버는 주기(periodic) 인터리버와 의사 랜덤(pseudorandom) 인터리버로 분류할 수 있는데, 주기 인터리버는 의사 랜덤 인터리버보다 신뢰도에서는 떨어지지만 복잡도에서는 훨씬 더 적다. 디인터리버는 텔하므로 채널의 환경에 따라 선택해서 사용할 수 있다.<sup>(5)</sup> 주기 인터리버 가운데 N행과 1열의 행렬로 구성된 (I,N) 블럭 인터리버는 데이터 프레임의 동기를 맞추기가 용이하다.

I=10									
X <sub>1</sub>	X <sub>9</sub>	X <sub>17</sub>	X <sub>25</sub>	X <sub>33</sub>	X <sub>41</sub>	X <sub>49</sub>	X <sub>57</sub>	X <sub>65</sub>	X <sub>73</sub>
X <sub>2</sub>	X <sub>10</sub>	X <sub>18</sub>	X <sub>26</sub>	X <sub>34</sub>	X <sub>42</sub>	X <sub>50</sub>	X <sub>58</sub>	X <sub>66</sub>	X <sub>74</sub>
X <sub>3</sub>	X <sub>11</sub>	X <sub>19</sub>	X <sub>27</sub>	X <sub>35</sub>	X <sub>43</sub>	X <sub>51</sub>	X <sub>59</sub>	X <sub>67</sub>	X <sub>75</sub>
X <sub>4</sub>	X <sub>12</sub>	X <sub>20</sub>	X <sub>28</sub>	X <sub>36</sub>	X <sub>44</sub>	X <sub>52</sub>	X <sub>60</sub>	X <sub>68</sub>	X <sub>76</sub>
X <sub>5</sub>	X <sub>13</sub>	X <sub>21</sub>	X <sub>29</sub>	X <sub>37</sub>	X <sub>45</sub>	X <sub>53</sub>	X <sub>61</sub>	X <sub>69</sub>	X <sub>77</sub>
X <sub>6</sub>	X <sub>14</sub>	X <sub>22</sub>	X <sub>30</sub>	X <sub>38</sub>	X <sub>46</sub>	X <sub>54</sub>	X <sub>62</sub>	X <sub>70</sub>	X <sub>78</sub>
X <sub>7</sub>	X <sub>15</sub>	X <sub>23</sub>	X <sub>31</sub>	X <sub>39</sub>	X <sub>47</sub>	X <sub>55</sub>	X <sub>63</sub>	X <sub>71</sub>	X <sub>79</sub>
X <sub>8</sub>	X <sub>16</sub>	X <sub>24</sub>	X <sub>32</sub>	X <sub>40</sub>	X <sub>48</sub>	X <sub>56</sub>	X <sub>64</sub>	X <sub>72</sub>	X <sub>80</sub>

N=8

그림 1. 블럭인터리버의 예  
Fig. 1. An example of Block interleaver.

예로써 그림 1에서 나타난 것처럼 블럭 인터리버는 전송된 디지트를  $8 \times 10$  행렬에 한 열씩 기록한 후 한 행씩 읽어서 전송한다. 즉  $X_1, X_2, X_3 \dots$  순으로 기록하여  $X_1, X_9, X_{17}, X_{25} \dots$  순으로 채널로 전송한다. 디인터리버는 수신된 디지트의 시퀀스를 행렬에 한 행씩 기록한 후 한 열씩 읽으므로 원래의 데이터 순서를 되찾게 된다. 이러한 인터리버는 디지털 회로에서 쉽게 구현할 수 있다.

(I,N) 인터리버에서 열의 수(I)보다 작은 길이

의 연접오류는 적어도 행의 수( $N$ ) 만큼 분리된 디인터리버 출력에 각각 한개의 오류만을 발생시키므로 산발오류의 성질을 가지게 되며,  $I=r \cdot N$  ( $r>1$ ) 길이의 연접오류는  $r$ 보다 길지 않고  $N-r$  이상 벌어진 연접오류로 바뀐다. 오류정정부호를 사용할 경우 한 부호이내의 오류의 개수가 부호의 오류 정정능력 이내

Write in by columns:  $x_1, x_2, x_3 \dots$

Read out by rows:  $x_1, x_9, x_{17} \dots$

이번 복호기에 의해 정정될 수 있다. 즉, 변수  $N$ 의 선택은 코딩 계계에 의존하는데 채널의 기억 영향이 디인터리버 출력에  $N$ 심볼에 대해 나타나지 않아야 하므로,  $N$ 은 디코딩 스펜(span) 보다 더 크게 선택되어야 한다. 그리고 인터리버의 변수  $N$ 과 1은 인터리버를 구성할 때 놓고 적으로 선택 가능하다.

인터리버, 디인터리버에 의해 생기게 되는 종단자인은 채널자인은 없다고 볼 때  $2NI$ 심볼만큼의 시연을 가지며, 송수신단에 각각  $NI$ 회기의 기억공간을 필요로 한다.

### III.2. 데이터 시퀀스의 랜덤성(randomness)

#### 측정

본 절에서는 인터리빙하는 본래의 목적인 산발오류화가 얼마나 되었는지를 가늠하기 위한 측정 방법으로 오류사이의 구간에 따른 누적 확률분포에 의한 방법을 설명하고, 이를 이용하여 레일레이페어링 채널에서  $(I,N)$ 블록 인터리버의 특성을 고찰한다.

디인터리버된 연속되는 비트 일어 00101110 0001001011001이고, 여기서 0일때는 no error이며 1일때는 error인 경우이라면, 오류사이의 구간  $k$ 에 따른 확률은  $p(k=0)=3/8$ ,  $p(k=1)=p(k=2)=1/4$ ,  $p(k=3)=0$  그리고  $p(k=4)=1/8$ 이다. 랜덤변수(random variable)  $X$ 를 데이터 일의 오류사이의 구간의 크기  $k$ 로 정의하자. 이에 따른 확률밀도함수는<sup>10)</sup>

$$\begin{aligned} p_X(k) &= P\{X=k\} \\ &= p_h(1-p_h)^k, k=0,1,2,3\dots \end{aligned} \quad (3)$$

이제,  $p_h$ 는 비트오류확률을 나타낸다. 그리고 이에 따른 누적화률분포 함수(cdf)는

$$\begin{aligned} F_X(k) &= P\{X \leq k\} \\ &= \sum p_i^i X=i \\ &= \sum p_h(1-p_h)^i \end{aligned} \quad (4)$$

이다. Viterbi 복호를 위해서는 (4)식에서  $k$ 가 decoding depth보다 작은 몇개의 누적분포값을 주로 이 대이터일을 보다 산발화가 잘 이루어졌다고 말할 수 있을 것이다.

(4)식은 무한대 길이의 대이나 일에 대한  $k$ 에 따른 분포함수이다. 실제로 인터리버의 랜덤성을 추정하기 위해서는 유한길이의 비트열에서 누적화률분포를 구할 수 밖에 없다. 대략  $P_h=10^{-3}$  아래에서는 유한길이에서 구한 누적화률분포와 (4)식에서 구한 이론적 누적화률분포 사이에 큰 차이가 나므로, 랜덤변수 발생함수를 사용하여 만든 대이나 일의 분포함수를 기준으로하여 인터리버의 랜덤성을 추정한다. 즉 기준분포함수(랜덤변수 발생함수)에 차까울수록 보다 랜덤하다고 판단된다.

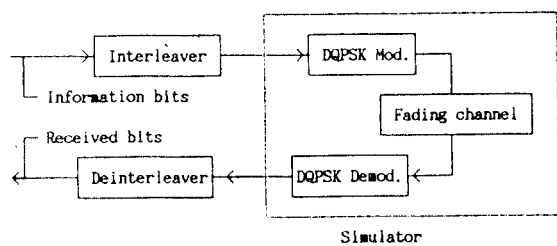


그림 2. 인터리빙 적용 데이터를 위한 세동조.  
Fig. 2. Block diagram for Simulation of interleaving.

상기 방법을 이용한 시뮬레이션을 통하여 레일리 페이딩 채널에서 인터리버의 구조를 결정짓는 베피의 변수에 따라 어떠한 특성을 나타내는지 알아본다. 그림 2는 시뮬레이션 블럭선도이다. 시뮬레이션에서 레일리 페이딩 시뮬레이터의 반송파 주파수는 450MHz, 정보비트 전송율은 16kbps로 하였으며, 채널을 통과하는 비트수는 약 60만개 정도로 하였다. 그리고 수신기의 속도는 40km/h, 채널의 신호대 잡음비( $E_b/N_0$ )는 20dB로 하였다. 인접 채널의 혼신을 무시할 경우 DQPSK변복조를 사용한 이동무선통신 채널의 비트 오류화률은 (2)식에서 구하면 약  $9.8 \times 10^{-3}$ 이 된다.

시뮬레이션 결과를 그림 3~6에 나타내었다. 먼저 블럭 인터리버에서  $I=50$ 으로 고정시키고  $N$ 을 변화시켰을 때의 분포를 그림 3에 나타내었다.  $N$ 을 달리해도 일정한  $k$ 의 구간 내에서는 (변화시킨  $N$ 의 최소값보다 작은 구간) 거의 같으므로,  $N$ 의 변화에 대해 인터리버의 성능을 눈감을 수 있다.

그림 4와 5를 보면,  $N=50$ 으로 고정시키고  $I$ 를 변화시켰을 때 보편적으로  $I$ 의 값이 클수록 더 좋은 결과가 나타나고,  $I$ 의 변화에 대해 분포값이 큰 차이를 가지므로, 인터리버의 성능을 상당히 민감한 반응을 나타낸다. 그리고 그림 5를 보면  $I=30$ 일 때가 rand에 가장 균일한 결과를 볼 수 있듯이, 수신기 속도가 높을수록  $I$ 가 작은 값에서도 rand에 균일하므로  $I$ 가 작아도 큰 경우와 거의 같은 성능을 가진다. 이 이유는 수신기의 속도가 높을수록 페이딩 유패이 커지면서 오류가 빈번히 타게되어 연접오류의 깊이가 짧아지기 때문이다.

전파 경로수를 달리 할 때  $I$ 의 변화에 대한 인터리버의 성능은 그림 4와 6을 비교해 보면 전파의 경로수가 다른 채널일 때 분포값은 변화하지라도 인터리버의 성능은 거의 비슷하게 나타난다. 그러므로 경로수의 변화에 대한 인터리버의 성능은 눈감한다.

결과적으로  $I$ 의 크기가 클수록 인터리버의 성능은 좋게 나타나지만 인터리버의 베피 크기로

인한 자연시간을 고려하여 적절한  $I$ 의 크기가 선택되어져야 한다. 그리고  $N$ 의 크기는 그 변화에 따라 일정 구간내에서 분포값이 거의 같으므로, 사용하는 코딩 방법에 적합하게 선택되어야 한다. Viterbi 복호의 경우  $N$ 은 decoding depth(또는 truncation length)보다 커야한다.

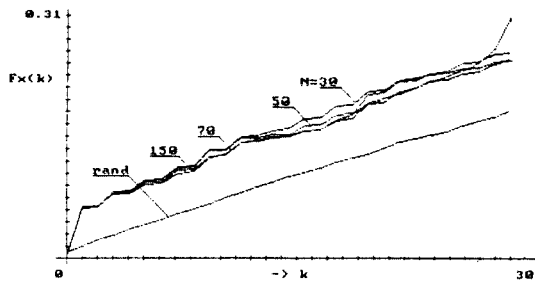


그림 3. 오류 사이구간  $k$ 에 따른 누적 확률 분포값  
 $V=40\text{km/h}$ , 선파경로수=34,  $I=50$ ,  $N=\text{변화}$

Fig. 3. CDF values as a function of  $K$ ,  
 $V=40\text{km/h}$ , num. of propagation path=34,  $I=50$ ,  $N=\text{변화}$

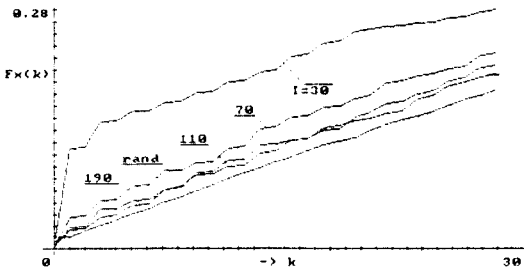


그림 4. 오류 사이구간  $k$ 에 따른 누적 확률 분포값  
 $V=40\text{km/h}$ , 선파경로수=34,  $N=50$ ,  $I=\text{변화}$

Fig. 4. CDF values as a function of  $K$ ,  
 $V=40\text{km/h}$ , num. of propagation path=34,  $N=50$ ,  $I=\text{변화}$

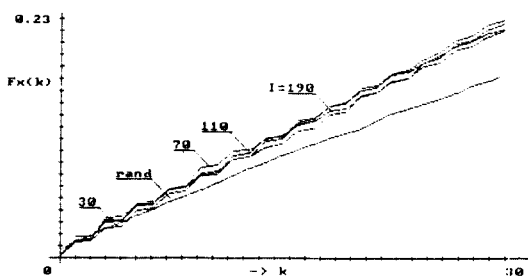


그림 5. 오류 사이구간  $k$ 에 따른 누적 확률 분포값  
 $V=80\text{km/h}$ , 선파경로수=34,  $N=50$ ,  $I=0$ ,  $N=\text{변화}$

Fig. 5. CDF values as a function of  $K$ ,  
 $V=80\text{km/h}$ , num. of propagation path=34,  $I=0$ ,  $N=\text{변화}$

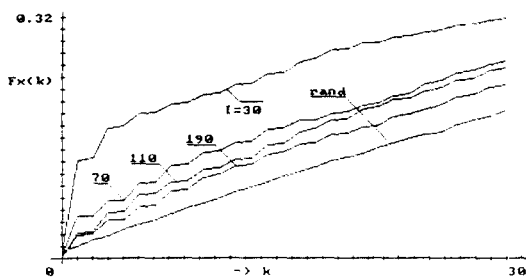


그림 6. 오류율에 따른 k에 따른 누적 확률 분포값  
V=40km/h, 경로상수=16, N=50, I=변화  
Fig. 6. CDF values as a function of K.  
V=40km/h, num. of propagation path=16, N=50, I=varies.

#### IV. Viterbi복호를 위한 인터리버

실샘부호의 복호법으로는 주로 Viterbi복호법을 많이 사용한다. 이 복호법은 trellis diagram에서 많은 경로중 수신강도와 차운식으로 가장 가능성이 큰 경로를 비교, 선택하고 이 경로에 해당하는 암리비트가 최종 부호되어 나오는 정보비트이다. 비트오류  $\epsilon$ 을 cross over와 비교, 찾는다. 예전 대칭채널(BSC)에서 Viterbi복호법에 대한 실샘부호의 비트오류의 상한(upperbound)은 전달함수로 부터 구할 수 있다.<sup>[10]</sup>

$$P_b \leq \frac{1}{b} \sum_{l=0}^{b-1} \left[ \frac{\partial}{\partial l} T(D, l) \right] \quad l=1, D^d = P_b \quad (5)$$

여기서

$$\sum_{k=0}^d k = \frac{d+1}{2} \quad (1 \frac{d}{k}) \epsilon^k (1-\epsilon)^{n-k} \quad d: \text{odd}$$

$$P_d = \sum_{k=1}^d k = 1 + \frac{d}{2} \quad (\frac{d}{k}) \epsilon^k (1-\epsilon)^{d-k} + \frac{1}{2} (1 \frac{d}{d}) \epsilon^k (1-\epsilon)^{d-k}$$

d: even

이다.

일반적으로 (n,k,m) 길 샘부호기는 k비트의 입력에 대하여 n비트의 부호어를 갖는다. 그리고 k개의 shift register를 가지면서 부호기의 메모리 차수 m을.

$$m \triangleq \max_{i=1, \dots, k} k_i \quad (7)$$

로 정의된다.<sup>[12]</sup> 여기서  $k_i$ 는 i번째 shifter register의 길이이다. 이러한 경우 Viterbi복호에서 부호길이는 일반적으로  $d_T = 5(m+1)$ 로 잡는다.<sup>[12]</sup> 이는  $d_T \cdot n$  비트의 채널 부호 비트들의 길이에 해당한다.

검출된 시뮬레이션을 통하여 Viterbi복호를 위한 인터리버의 성능을 고찰한다. 그림 7은 이에 대한 시뮬레이션 계통도이다. 수신기의 속도는 20, 40, 60 그리고 80km/h로 설정하였다. 채널의 신호대 잡음비, 데이터전송율, 반송파주파수, 그리고 데이터 발생갯수 등을 III장의設定과 대체로 사용하였다. 주파수 대역이 25kHz 세판류 채널에서 신제로 사용 가능한 채널부호로써 부호율  $r=3/4$ , 구속장  $L=7$ , 생성행렬  $G=$

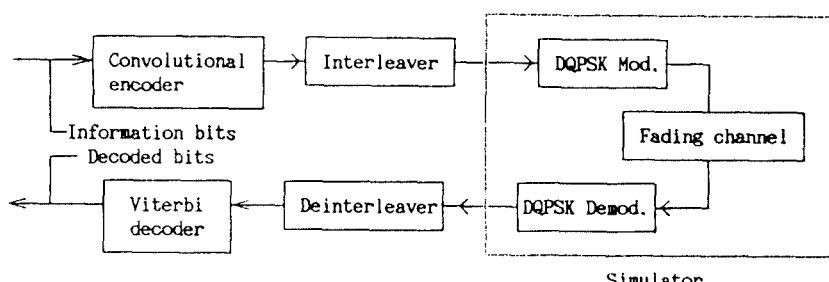


그림 7. Viterbi解碼를 위한 인터리버의 시뮬레이션 계통도  
Fig. 7. Simulation block diagram of interleaving for Viterbi decoding.

(127, 45, 106, 172)인 길쌈부호기를 사용하였다. 길쌈부호기는 Daut 등<sup>(13)</sup>이 사용한 형태를 채택하였다.

시뮬레이션에서 복호길이는 참고문헌(12)와

비슷하게  $d_T = \lceil \frac{L}{K} \rceil \times 5$ 로 하였다. 여기서  $[x]$ 는  $x$ 보다 작지 않은 최소정수를 나타낸다.  $r=3$ ,  $L=7$ 의 경우  $d_T=15$ 이며 60비트의 채널부호비트들의 길이에 해당한다. III 장에서 행의 크기

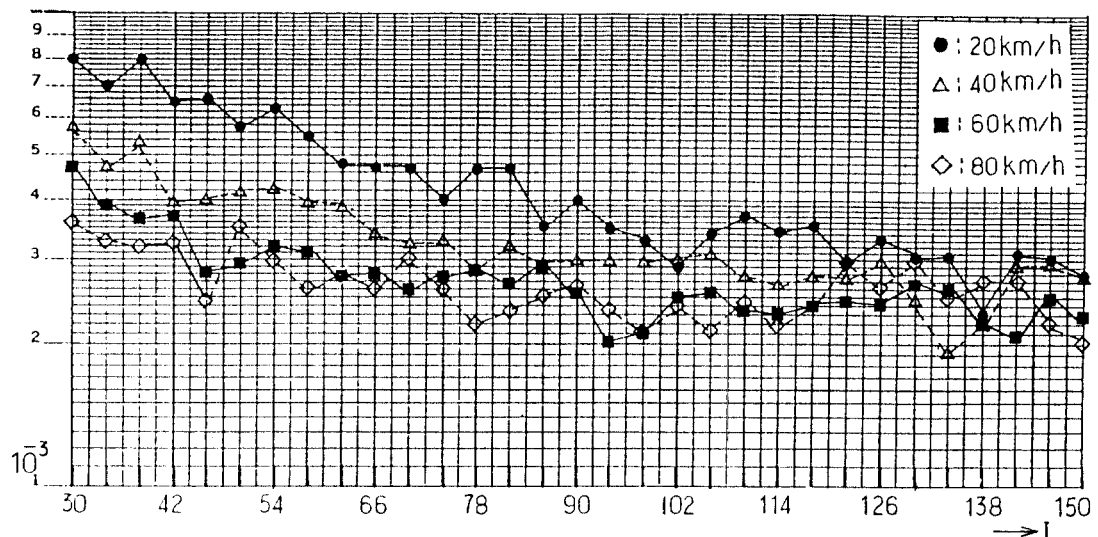


그림 8. 적절한 I값을 위한 비트오류율(N=62, 전파경로수=34)  
Fig. 8. BER for searching of good I, N=62, num.of propagation path=34.

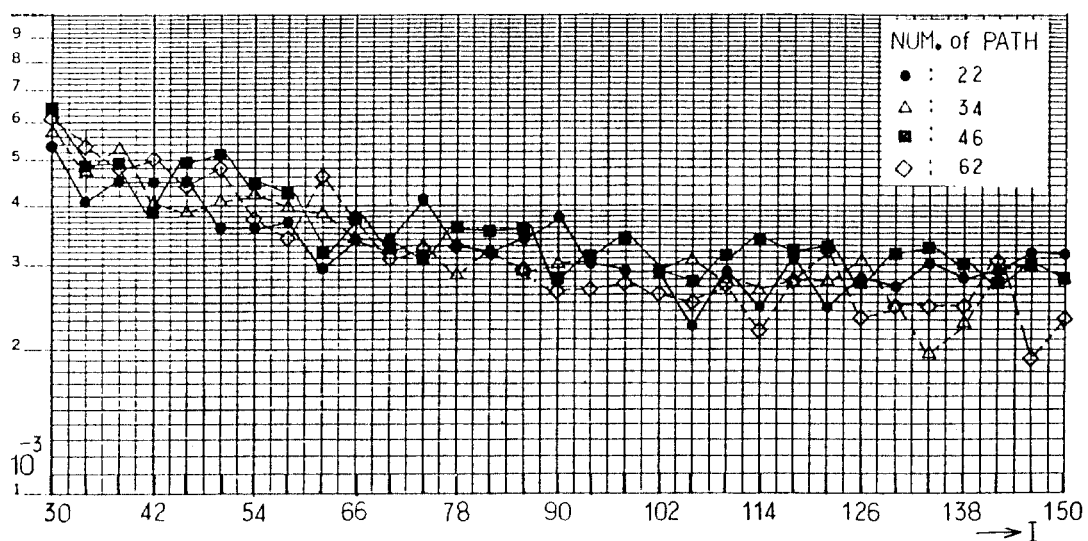


그림 9. 적절한 I값을 위한 비트오류율 N=40km/h, N=62  
Fig. 9. BER for searching of good I, V=40km/h, N=62.

$N \geq d_T$ 이면 충분하며  $N$ 의 크기에 대하여 인터리버의 성능은 눈감았으므로  $N=61$ 로 고정시켰으며, 수신기의 이동속도와 채널환경을 달리했을 경우 I에 따른 인터리버의 성능을 고찰하고 비파의 크기에 따른 자연과 비트오류의 성능을 고려하여 적절한 I를 설정한다. 시뮬레이션에서 채널환경을 달리하기 위해서는 시뮬레이션에서 전파경로의 수를 변경시킨다.

그림 8과 9에 시뮬레이션 결과를 나타내었다. 그림 8에서 I를 증가시키면 인터리버의 성능은 향상되지만 어느 정도의 크기에서 오화가 일어난다. 따라서 비파의 자연시간을 고려할 때 오화가 시작되는 점에서 I를 선택하면 된다. I의 크기는

수신기 속도가 20km/h일 때 130, 40km/h일 때 86, 60km/h일 때 62 그리고 80km/h일 때는 46정도가 적절하다. 전파적으로 수신기 속도의 변화에 대해서는 속도가 높을수록 I의 크기가 작아 지는데, 이 이유는 수신기 속도가 높을수록 해야되는 유통이 가중으로 인접오류의 산이 가중아지면서 빈번히 타기 때문임을 알 수 있다. 그림 9에 전파경로의 수를 달라할 경우 경로의 수가 22일 때 93, 34일 때 86, 46일 때 90, 그리고 62일 때 90정도의 I가 적절하며 전체적으로 비슷한 결과가 나타난다.

다음은 인터리버의 발달에서 (4)식 사용의 실험상을 조사한다. (4)식을 이용하여 인터리버

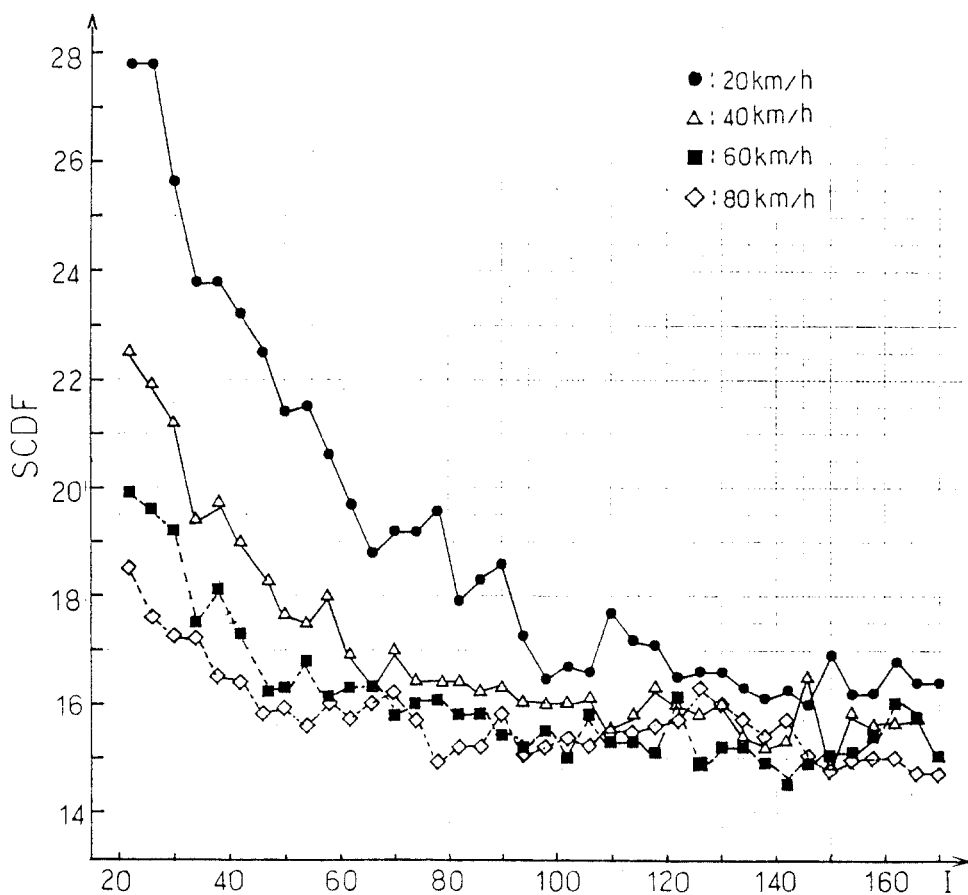


그림 10. 인터리버의 대역폭에 따른 누적 확률분포의 합  
Fig. 10. Sum of CDF value of interleaved data sequence.

의 성능을 조사하기 위해서는 해당 인터리버의 누적 확률분포를 구하고, 이를 그래프로 표시하여 시각적으로 비교해야 하는데 이것은 상당히 번거로운 일이다. 누적 확률분포함수는 단조증가함수이므로  $k=60$ 까지 분포값의 합을 비교하는 것은 그래프를 사용한 비교와 동일하므로, 분포값의 합을 사용하여 인터리버 성능을 비교한다. 식(4)을 이용하여 분포값의 합(sum of CDF value)을 식(8)과 같이 표현한다.

$$\text{SCDF} = \sum_{k=0}^{10} Fx(k) \quad (8)$$

그림 10에 나타낸 결과에서  $20\text{km/h}$ 에서는 138,  $40\text{km/h}$ 에서는 110,  $60\text{km/h}$ 에서는 70, 그리고  $80\text{km/h}$ 에서는 46정도의 1가 적절하며, 전체를 보면 그림 8과 비슷한 추세를 보인다. 그러므로 앞장에서 설명한 산발화 측정법은 Viterbi 복호를 위한 인터리버의 발굴에 사용될 수 있다.

CCITT에서는 육상 디지털 이동통신에서 디지털 음성신호 전송의 평균 지연시간을 70ms로 정하고 있다.<sup>14)</sup> 설정된 인터리버의 지연시간은  $61 \times 138$ 의 경우 16kbps 전송율에서 0.526초이므로 비음성 데이터 전송에서는 사용 가능하지만 전시간처리가 요구되는 음성신호 전송의 경우에는 불가능하다. 음성신호 전송의 경우에는 음성부호화 기법과 채널부호가 결성되면 본 논문에서 제안한 방법을 사용하여 적절한 인터리버를 발굴할 수 있을 것이다.

## V. 결 론

레일리 페이딩 채널에서 발생하는 언집애리를 산발화하기 위해 인터리버를 사용한다. 본 논문에서는 레일리 페이딩 채널에 서의 인터리버의 산발화 특성을 조사하고 길쌈부호의 Viterbi 복호법에 적합한 인터리버를 구하였다. 인터리버 산발화의 성능 평가에 error 사이의 구간에 따른

화물 분포 특성을 사용하였으며, 컴퓨터 시뮬레이션을 통해 실험적으로 고찰하였다. 그 결과 (I,N)블록 인터리버의 성능은 버퍼의 행렬크기에 관련되어, 언집오류 길이와 관련된 열의 크기에 따라 민감하거나 복호기의 복호능력에 좌우되는 행의 크기에는 둘째치게 나타났다. 그리고 이동체 속도가 증가함에 따라 인터리버의 크기가 작아도 산발화할 수 있다.

길쌈부호의 Viterbi 복호에 적합한 인터리버 발굴에서는 부호율이  $3/4$ 이고 구속장이 7인 길쌈부호에 대해서는 행의 크기를 61로 할 경우 속도가  $20\text{km/h}$ 에서는 138,  $40\text{km/h}$ 에서는 86,  $60\text{km/h}$ 에서는 62, 그리고  $80\text{km/h}$ 에서는 46 정도의 열의 크기를 갖는 인터리버가 적절하며, 이를용 바듯한 성능을 자닌다. 이동체에 대한 응용을 고려할 경우, 정속일때는 그 속도에 맞는 블록 인터리버를 선정하여 사용하면 되나, 정속이 아닌 경우에는 두 이동체의 속도정보를 상호교환하여 인터리버의 크기를 선정하는 시스템이 요구된다. 그러나 낮은 속도에서의 해당 블록 인터리버를 사용하면 높은 속도에서도 산발화 성능이 그대로 유지되므로, 버퍼의 크기가 커지지 말고 속도별위에 대하여 강이하게 된다.

## 참 고 문 헌

1. Kamilo Feher, Ed., *Advanced Digital Communication*, New Jersey: Prentice Hall, 1987.
2. K. Otani and et al., "Burst error performance encountered in digitalland mobile radio channel," *IEEE Trans. on Veh. Tech.*, vol. VT 30, pp.156-160, Nov. 1981.
3. Said M. Elnoubi, "Analysis of GMSK with differential detection in land mobile radio channels," *IEEE Trans. on Veh. Tech.*, vol. VT 35, pp.162-167, 1986.
4. H. Suzuki, "Carriole receiver analysis for M ary angle modulation in Rayleigh fading environment," *IEEE Trans. on Veh. Tech.*, vol.VT 25, pp.1075-1083, 1987
5. G.G. Clark, Jr., and J.B. Cain., *Error Correction Coding for Digital Communications*, New York and London: Plenum Press, Chap.8, 1981.

6. J.G. Proakis, *Digital Communications*, New York: McGraw Hill, 1983.
7. P. Melacon and J. Bel, "A characterization of the frequency selective fading of the mobile radio channel," *IEEE Trans. on Veh. Tech.*, vol. VT-35, pp. 153-160, 1986.
8. W.C. Jakes, Ed., *Microwave Mobile Communication*, New York: Wiley, 1974.
9. 김재만, "디지털 UHF 이동통신망 설계 및 PSK 신호 방식에 대한 연구," 박사학위논문, 연세대학교, 1987.
10. L.A. Richer, "A Simple Interleave for Use with Viterbi Decoding," *IEEE Trans. on Commun.*, vol. COM-26, pp.406-408, March 1978.
11. A. Viterbi and J. Omura, *Principle of Digital Communication and Coding*, New York: McGraw Hill, pp.243-247, 1976.
12. S.Lin and D.J. Costello, Jr., *Error Control Coding*, Englewood Cliffs, NJ: Prentice-Hill, 1983.
13. D. Daut, J.Modestino, and L.Wismer, "New short constraint length convolutional code constructions for selected rational rates," *IEEE Trans. on Inform. Theory*, vol. IT-28, pp.794-800, 1982.
14. Maurozio Decina and Giulio Modena, "CCITT standards on digital speech processing," *IEEE J. Select. Areas in Commun.*, vol. SAC-6, pp.227-234, Feb. 1988.



李相坤(Sang Gon LEE) 正會員  
1960年12月1日生  
1986年2月：慶北大學校 電子工學系  
卒業  
1988年2月：慶北大學校 大學院 電子工  
學系 卒業(工學碩士)  
1990年2月：慶北大學校 大學院 電子工  
學系 博士課程 修了  
1989年9月～現在：慶北大學校 電子工學  
系 助教



錢重仁(Jung In JEON) 正會員  
1963年3月19日生  
1988年2月：慶北大學校 電子工學系  
卒業  
1990年2月：慶北大學校 大學院 電子工  
學系 卒業(工學碩士)  
1990年1月～現在：韓國通信技術公司  
在職中



文相在(Sang Jae MOON) 正會員  
1948年4月20日生  
1968年3月～1972年2月：延世大學附  
屬工業教育科  
電子專攻  
上學  
1972年2月～1974年2月：延世大學校大  
學院 電子工  
學系 博士課程  
1980年9月～1981年6月：美國 Univ. of California, L.A.  
工學博士(通信工程)  
1974年2月～1974年10月：金星電氣株式會社 勤務  
1980年10月～1984年6月：美國 Univ. of California, L.A.  
研究組員 勤務  
1984年3月～1984年7月：美國 Satellite Tech. Management  
Inc. Consultant 勤務  
1984年7月～1985年7月：美國 Univ. of California, L.A.  
Postdoctor 勤務(Dept. of Elec. Eng.)  
1984年7月～1985年7月：美國 OMNET Corporation Consul  
tant 勤務  
1974年12月～現在：慶北大學校 大學院 電子工學系 勤務 副教授